

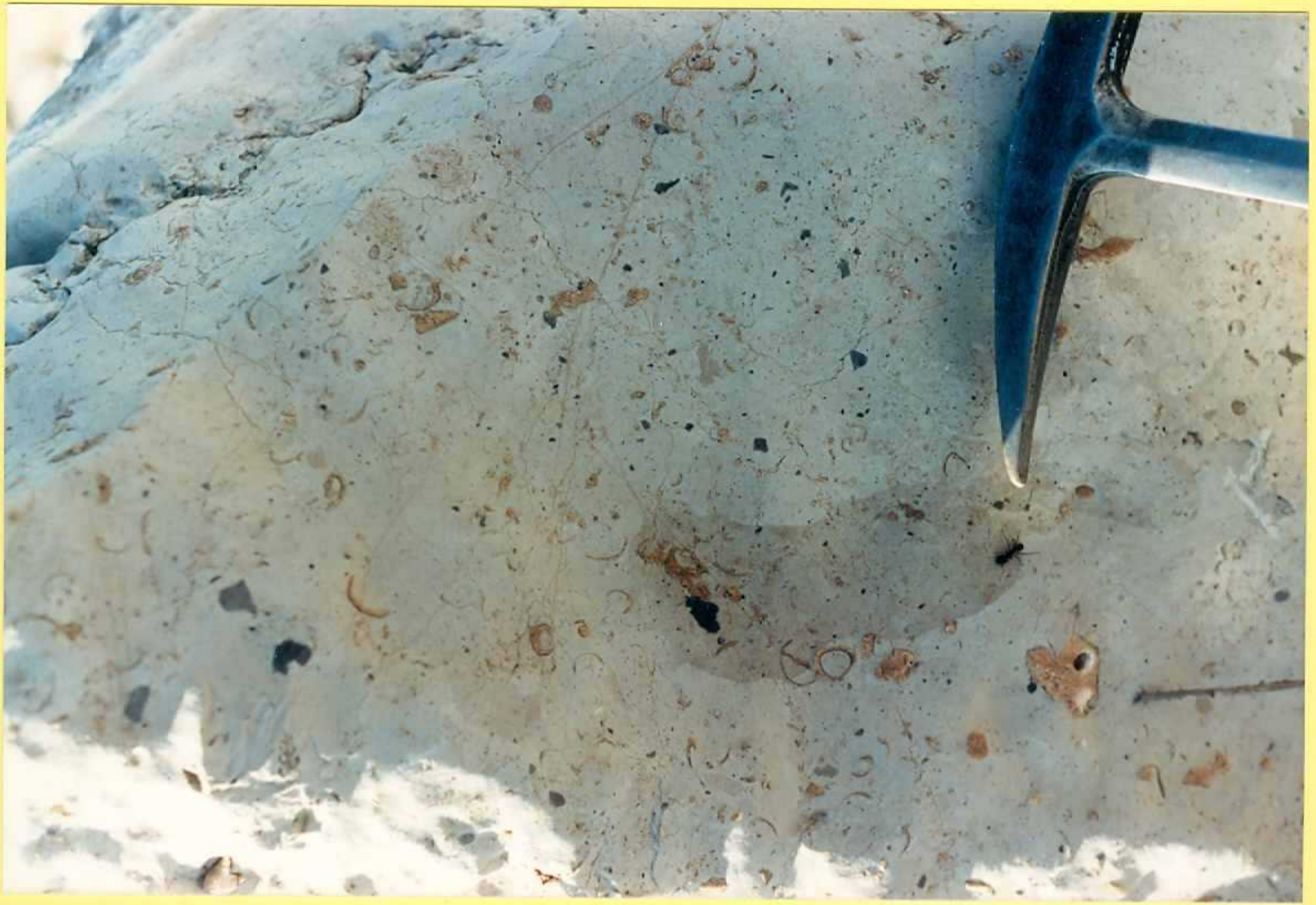
9300 Rocas subvolcánicas (ofitas). Unidad 4. Incluidas como olistolito en la unidad 31 cerca del Cortijo Cazalla.



9301 Dolomías masivas. Unidad 5. Cumbre de Alta Coloma



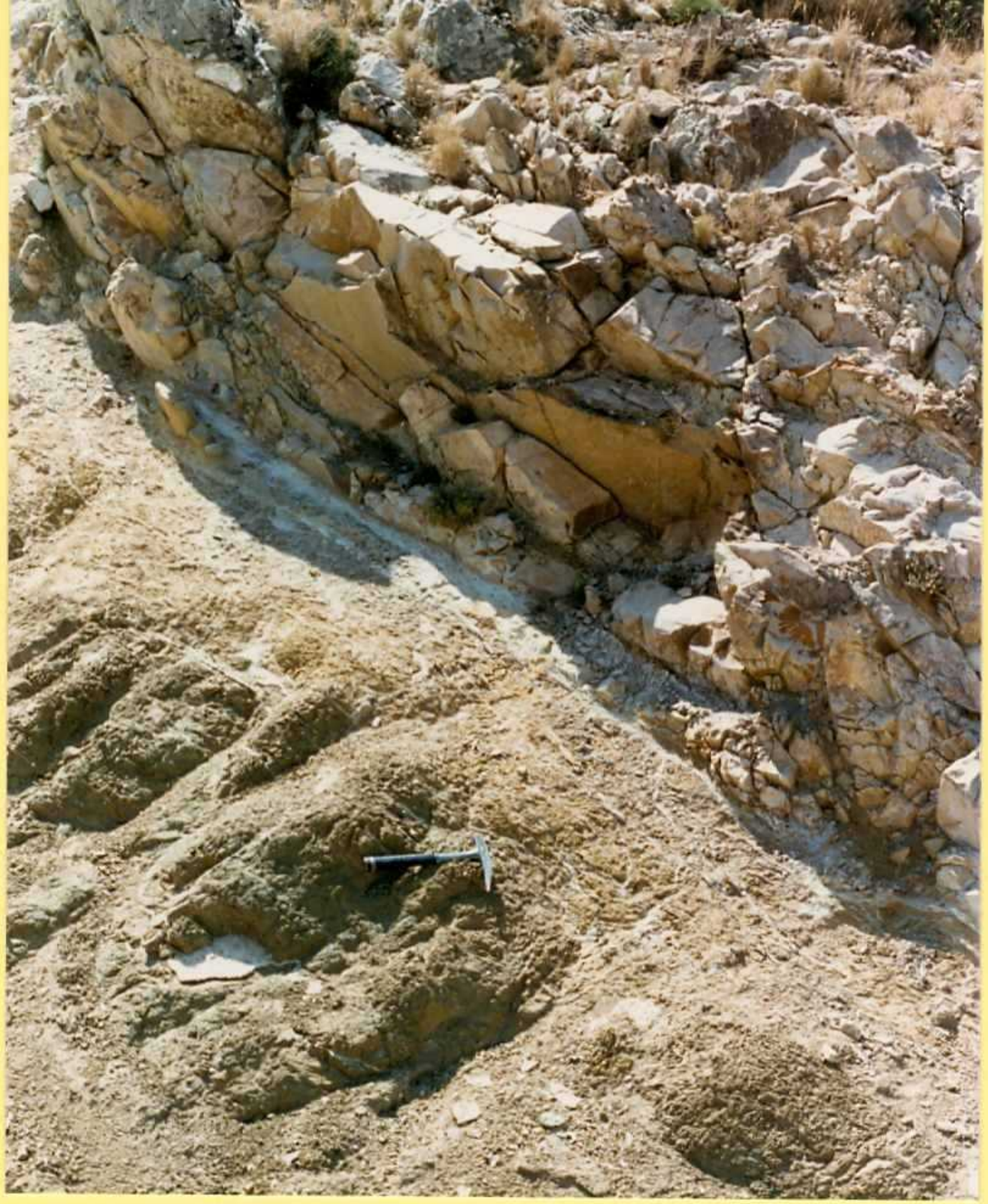
9302 Calizas tableadas beiges y blancas.Unidad 7. Lías medio y superior. Alta Coloma.



9303 Detalle de la unidad 7. Lías medio-superior. Alta Coloma.



9304 Detalle de la unidad 11. Dogger. Alta Coloma.



9305 Rocas volcánicas (unidad 20) intercaladas en la unidad 15 (Dogger). Alta Coloma.



9306 Pillow lavas en las rocas volcánicas de la unidad 20. Dogger. Km. 381 de la CN-323.



9307 Aspecto característico de los afloramientos de rocas volcánicas. Unidad 20. Dogger. Río de las Juntas.



9308 Margocalizas y margas verdes y rojas, con radiolarios (radiolaritas). Unidad 21. Colada de los Zurreadores (serie invertida).



9309 Facies tipo ammonítico rosso. Unidad 22. Malm. Fuente de las Pilas.



9310 Aspecto de las brechas poligénicas de la unidad 25. Neocomiense. Puerto del Carretero.



9311 Slumps en la unidad 26. Neocomiense. La Frontera, Km. 369 de la CN-323.



9312 Calizas, margocalizas y margas blancas y grises. Unida 26. Neocomiense. Puerto del Carretero.



9313 Contacto entre las calizas, margocalizas y margas blancas y grises de la unidad 26 y las margas y lutitas, con abundante materia orgánica, con niveles de brechas sinsedimentarias y calcarenitas de la unidad 28. Ambas unidades del Cretácico inferior. Arroyo Carboneros.



9314 Aspecto de la parte inferior de la Formación Areniscas del Cerrajón. Unidad 33. Cretácico inferior. Puerto Viejo de Valdepeñas.



9315 Olistolito triásico (unidad 1) englobado en las margocalizas y margas blancas de la unidad 34. Cenomaniense. Puerto Viejo de Valdepeñas.



9316 Clastos de yeso, limolita, dolomía negra y ofita de la unidad 31. Oligoceno-Aquitaniense. Carchel.



9317 Vista de un olistolito oligoceno incluido en la megabrecha roja, conclastos de yeso, dolomía, ofita, etc. y matriz arcillosa. Oligoceno-Aquitaniense. Cabecera del Barranco de la Negra.



9318 Brechas y conglomerados con intercalaciones de margas blancas. Unidad 35. Burdigaliense superior-Langhiense inferior. Cortijo de Palomares.



9319 Detalle de la unidad 35, en el mismo afloramiento que en la foto anterior.



9320 Discordancia progresiva dentro de la unidad 36. Burdigaliense superior-Langhiense inferior. Barranco de la Parrilla.



9321 Margas blancas y capas de biocalcarenita. Unidad 38. Tortoniense inferior. Oeste de Montejicar.



9322 Aspecto de los materiales detríticos de la unidad 40. Pliopleistoceno. Norte de Campotejar.



9323 Brechas con matriz roja. Unidad 42. Pleistoceno. Arroyo de las Viñas.



9324 Tobas y travertinos de la unidad 44. Pleistoceno. Arbuniel.



9325 Depósito aluvial (terraza) fallada. Unidad 50. Holoceno. Cortijo de los Prados.



9326 Panorámica desde El Papel hacia Valdepeñas de Jaén. En último plano de izquierda a derecha, Sierra de la Pandera y Sierra del Ventisquero. En primer plano a la derecha se observa la unidad 30 (Margocalizas y margas, blancas y rosadas del Cretácico superior.



9327 Cabalgamiento de la Sierra de la Pandera sobre la unidad de Jabalcuz-San Cristóbal (Unidades Intermedias) en el Puerto Viejo de Valdepeñas. En último plano a la derecha,vista de la Sierra del Ventisquero.



9328 Vista de la Ventana de Valdepeñas, el embalse de Quiebrajano y la Garganta de los Ladrones.



9329 Vertiente norte de la Sierra del Ventisquero. Al pie la Ventana de Valdepeñas. A la derecha Sierra de la Pandera. En primera plano sinclinal tumbado de las Cuevezuelas.



9330 Vertiente norte de la Martina, a la derecha se ve el Trías (unidad 1) del Cortijo de la Hoya.



9331 Vista del valle del Cortijo de los Prados desde el oeste. A la izquierda (color blanco) retazo de la unidad 30 capas rojas del Cretácico superior englobadas en el Trías (unidad 1).



9332 Vista del cabalgamiento retrovergente de la Sierra del Trigo (a la derecha), sobre el sinclinorio de Campillo de las Arenas.



9333 Serie jurásica invertida al sur del Cortijo de Navalcán. A la derecha contacto por cabalgamiento del Dogger (undad 15), sobre el Cretácico (unidad 26, zona aterrazada). En último plano a la derecha, cabalgamiento de La Marceral sobre el conjunto.



9334 Vista de la ladera norte de la Sierra de Montillana (a la derecha) y del siclinorio de Campillo de Arenas. En último plano la Sierra de Lucena-Alta Coloma.



9335 Alineación del Orosco-Castillode Puerto Arenas, cabalgante sobre el sinclinorio de Campillo de Arenas.



9336 Contacto entre las margas y calcarenitas del Burdigaliense-Langhiense (unidad 36) discordante sobre el complejo tecosedimentario Oligo-Aquitaniense (megabrechas rojas con matriz arcillosa. Unidad 31) situado en primer plano. Arroyo del Salado.



9337 Vista del afloramiento de edad Burdigaliense-Langhiense (Brechas, conglomerados, calcarenitas y margas. Unidad 36), situado al norte y noreste de Carchelejo.



9338 Vista hacia el sur desde Alta-Coloma. En primer plano sinclinal de la Dehesa de Montejicar. A medio plano Cuerda de la Gitana, Arroyo Cucarrete y Terciario del sureste de la Hoja. En último plano Sierra Harana.



9339 Panorámica hacia el Alto de la Cornicabra. En último plano Sierra del Ventisquero-Pico de la Cruz.



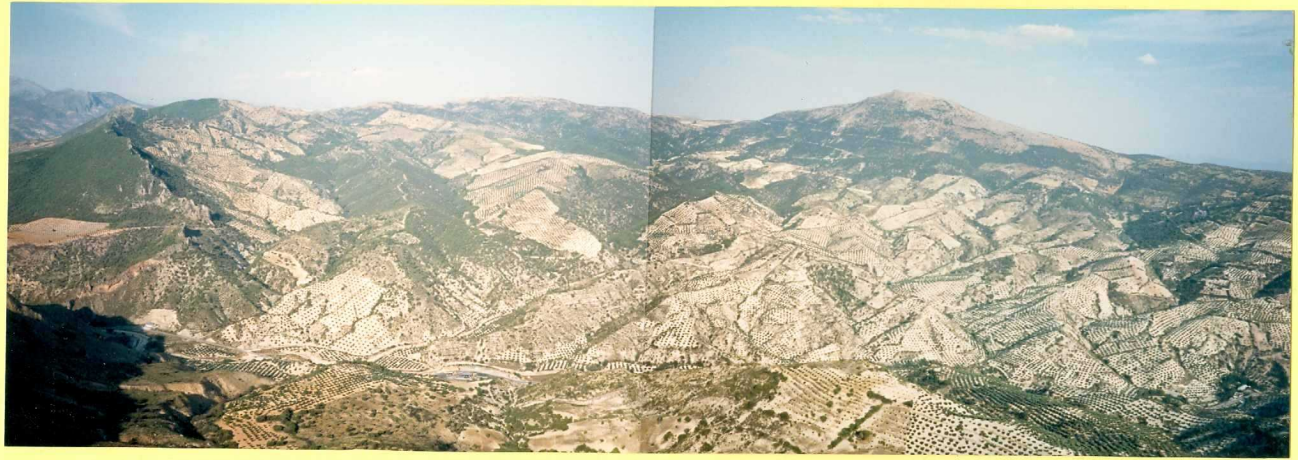
9340 Panorámica desde la Solana de Carchel. De izquierda a derecha: Loma de Pérez, La Marceral, Sierra del Trigo, Sierra del Ventisquero y Sierra de la Pandera.



9341 Panorámica hacia el sector de Cerro Prieto, Cerro Quemado, La Marceral, Puerto Verde y Sierra del Trigo.



9342 Panorámica desde el Puerto de las Palomas hacia Grajales (Cerro Castillejo, Cuello de Ventarique).



9343 Panorámica desde el Orosco hacia la Sierra de Lucena-Alta Coloma. A la izquierda Puerto Arenas.



9344 Panorámica de las superficies de tobas y travertinos pleistocenas (unidad 44) de Arbuniel.